



Comparison of pain behavior responses in two peripheral neuropathic models (SNI, CCI) in rat

Vahideh Mirzaei^{1,2}, Homa Manaheji^{1*}, Keyvan Keramati², Nader Maghsodi¹, Jalal Zaringhalam¹

1. Dept. Physiology and Neuroscience Research Center, Shahid Beheshti University (M.C.), Tehran, Iran

2. Dept. Biology, Azad University of Damghan, Damghan, Iran

Received: 14 Jun 2007

Revised: 12 Jan 2008

Accepted: 28 Jan 2008

Abstract

Introduction: Peripheral nerve injury leads to neuropathic pain syndromes and different sensation like allodynia and hyperalgesia. Different animal models of neuropathic pain are used to study the neuropathic pain mechanisms. The present study was performed on two models, (SNI). The purpose of this study was comparing the behavioral responses of these two models and the role of saphenous and sural nerve in SNI model.

Methods: Male Wistar rats (180-220 g) were used. CCI models were made by 4 loose ligations on common sciatic nerve. In SNI models, 2 of 3 terminal branches of sciatic nerve were cut and the sural nerve was remained intact. Zero, 4, 7 and 14 days after the operation, thermal hyperalgesia and mechano allodynia were assessed with radiant heat with von-frey filament.

Results: The results indicated mechano allodynia and thermal hyperalgesia at days 4th, 7th and 14th. In comparison of SNI and CCI, there was no significant difference in pain behaviors; however there was more sensitivity to allodynia in the SNI model and more sensitivity to hyperalgesia in the CCI model. Saphenous territory showed less allodynia and hyperalgesia than sural territory.

Conclusion: behavioral tests of CCI and SNI models demonstrated the hypersensitivity to both thermal and mechanical stimuli. But there were different pain intensity between the sural and saphenous nerve territories in SNI model. It seems different neuropathy models have different mechanisms and symptoms.

Keywords: Thermal Hyperalgesia, Mechanical Allodynia, Chronic Constriction Injury, Spared Nerve Injury, Rat

* Corresponding Author Email: hmanaheji@yahoo.com
Available online @: www.phypha.ir/ppj

مقایسه پاسخهای رفتاری درد نوروپاتیک در دو مدل نوروپاتی محیطی CCI و SNI در موش صحرایی

وحیده میرزاپی^{۱،۰}، همامناهجی^{*}^۱، کیوان کرامتی^۱، نادر مقصودی^۱، جلال زرین قلم^۱

۱. گروه فیزیولوژی و مرکز تحقیقات علوم اعصاب دانشگاه علوم پزشکی شهید بهشتی، تهران
۲. گروه زیست شناسی دانشگاه آزاد واحد دامغان، دامغان

درباره: خداداد ۸۶ بازبینی: دی ۸۶ پذیرش: دی ۸۶

چکیده

مقدمه: آسیب عصب محیطی سندروم های درد نوروپاتیک همانند آلودینیا، هایپرآلرژیا و درد خودبخودی را بدنبال دارد. مدل های مختلفی جهت بررسی مکانیسم های درد نوروپاتیک استفاده می شوند، در این مطالعه دو مدل Constriction Chronic Injury (CCI) و Spared Nerve Injury (SNI) مورد بررسی قرار گرفته است. هدف این

مطالعه مقایسه پاسخهای رفتاری در دو مدل نوروپاتی و مقایسه تأثیر مدل SNI در دو ناحیه مربوط به عصب سورال (Sural) و صافن (Saphenous) می باشد.

روش ها: موشهای صحرایی نر ۱۸۰ Wistar تا ۲۲۰ گرمی استفاده گردید. در مدل CCI چهار گره شل به فاصله یک میلیمتر روی قسمت مشترک عصب سیاتیک زده شد. در مدل SNI دو شاخه عصب سیاتیک قطع گردید و شاخه عصب سورال باقی ماند، سپس هایپرآلرژیای حرارتی تا دستگاه Reat Radiant و آلودینیا مکانیکی با تارهای Von-Frey در هر دو مدل طی روزهای ۰، ۷، ۱۴ و ۲۱ سنجیده شد.

یافته ها: پاسخ گروه های CCI و SNI در مقایسه با گروه شاهد افزایش معنی داری را طی روزهای ۷، ۱۴ و ۲۱ داشت که به ترتیب نشانگر آلودینیا مکانیکی و هایپرآلرژیای حرارتی می باشد. مقایسه هایپرآلرژیای حرارتی و آلودینیا مکانیکی گروه CCI SNI با اختلاف معنی داری در رفتارهای درد نشان نداد، معندا هایپرآلرژیای SNI و آلودینیا SNI از CCI بیشتر بود که این پاسخ ها از روز چهارم پس از نوروپاتی آغاز و تا روز ۱۴ به حداقل میزان خود می رسید، بررسی نواحی مربوط به عصب صافنوس هایپرآلرژیای حرارتی و آلودینیا مکانیکی را با شدت کمتر از نواحی مربوط به عصب سورال نشان داد.

نتیجه گیری: بررسی رفتاری مدل های SNI و CCI پاسخهای برقدرت حسی را نشان دادند که از نظر شدت پاسخ این دو مدل با یکدیگر متفاوت است و شدت نواحی متأثر از دو شاخه عصب سورال و صافنوس در مدل نوروپاتی SNI متفاوت است. لذا مدل های متفاوت نوروپاتی می توانند مکانیسم های متفاوتی داشته باشد.

واژه های کلیدی: هایپرآلرژیای حرارتی، آلودینیا مکانیکی، مدل CCI، مدل SNI، موش صحرایی

مقدمه

است [۲۱]. در مدل های رفتاری برای مطالعه درد از آسیب به عصب محیطی که بطور معمول عصب سیاتیک است استفاده گردیده و درد نوروپاتیک القاء می شود. درد نوروپاتیک به دردی اطلاق می شود که بدنبال آسیب به سیستم اعصاب محیطی و مرکزی ایجاد گردد. هر دو مکانیسم های مرکزی و محیطی با اثرات متقابل روی یکدیگر می توانند در پاتوژن درد نوروپاتیک

پیشرفت در درک درد کلینیکی با توسعه مدل های حیوانی حاصل می شود که مشابه سندروم های درد کلینیکی در انسان

hmaniaheji@yahoo.com

* نویسنده مسئول مکاتبات:

www.phypha.ir/ppj

وبگاه مجله:

به علت تفاوت‌های رفتاری در شدت و نحوه بروز درد در مدل‌های مختلف نوروپاتی، در این مطالعه جهت مقایسه این مدلها و بررسی آنها آلدینیایی مکانیکی و هایپرآلرژیای حرارتی در دو مدل نوروپاتی CCI و SNI مورد بررسی قرار گرفت و همچنین در مدل SNI ناحیه Medial (عصب دهی شده توسط عصب صافنوس) در کف پای حیوان نیز از نظر رفتاری بررسی شد.

مواد و روش‌ها

در این آزمایش از موش‌های صحرایی نر ۱۸۰ تا ۲۲۰ گرمی نژاد Wistar استفاده شد. حیوانات دو هفته قبل از آزمایش جهت آشنایی با محیط از به حیوانخانه منتقل گردیدند.

سه گروه (n=8) وجود داشت که گروه اول گروه شاهد بودند که پوست و عضله آنها شکافته شد، ولی عصب آنها دست نخورده باقی مانده بود. گروه دوم گروه SNI بود که نوروپاتی شدن و گروه سوم CCI بود که نوعی دیگر از نوروپاتی بر روی آنها اعمال گردید. در دو گروه شاهد و SNI علاوه بر آزمون روى عصب saphenous و sural هم تست‌های رفتاری اعمال گردید.

در جراحی حیوانات، در ابتدا حیوان‌ها با تزریق کتامین- زایلازین به نسبت ۷۵ به ۱۰ میلی گرم به ازای هر ۱۰۰ گرم وزن با تزریق p.i. بیهوش گردیدند. در گروه sham پس از بیهوشی حیوان موهای پشت ران را تراشیده و شکافی روی قسمت خارج ران پای چپ در محل مشترک عصب سیاتیک ایجاد شد و پس از مشاهده عصب سیاتیک بدون هیچ دستکاری در آن عضلات و پوست به وسیله نخ سیلک ۰/۴ بخیه زده شد. در گروه CCI، پس از بیهوشی حیوان موهای پشت ران تراشیده و شکافی روی قسمت خارج ران پای چپ در محل مشترک عصب سیاتیک ایجاد شد و پس از بریدن عضلات ناحیه فوق و مشاهده عصب سیاتیک، با استفاده از دو میله کوچک شیشه‌ای بافت‌های اطراف عصب جدا گردیده و به وسیله نخ کات کوت ۰/۴، چهار گره شل به فاصله یک میلیمتر روی قسمت مشترک عصب سیاتیک زده شد. سپس با استفاده از نخ بخیه ۰/۴ سیلک عضله و پوست به صورت جداگانه دوخته شد (۲).

در گروه SNI، پس از بیهوشی حیوان موهای پشت ران تراشیده و بر روی پای چپ شکافی ایجاد گردید که در محل سه

شرکت داشته باشد [۱۶ و ۱۲۹، ۷، ۲]. مدل‌های مختلفی جهت ایجاد نوروپاتی در حیوانات ارائه شده‌اند که نتایج آنها با مشاهدات بالینی قابل مقایسه می‌باشد [۱، ۴ و ۵]. مدل یکی از مدل‌هایی است (Chronic Constriction Injury(CCI) که توسط Bennett و Xie در سال ۱۹۸۸ ارائه شده است. این مدل از جمله کاربردی ترین مدل‌های نوروپاتی است که توسط چهار گره بر روی قسمت مشترک عصب سیاتیک ایجاد می‌شود و علائمی چون درد خودبخودی و هایپرآلرژیا و آلدینیایی مکانیکی و حرارتی و همین طور جمع شدن پای آسیب دیده، پس از اعمال فشار روی عصب سیاتیک ظاهر می‌گردد [۱۱، ۲، ۳ و ۱۱]. از دیگر مدل‌های نوروپاتیک موثر مدل Spared Nerve Injury (SNI) از پاشد که توسط Woolf و Decosterd در سال ۲۰۰۰ ارائه شد. در این مدل دو رشته عصبی Common Peroneal و Tibial و Sural دست نخورده باقی ماند. در این مدل افزایش شدید پاسخ به محركهای حرارتی و مکانیکی غیر دردناک ایجاد می‌شود [۷]. در سال ۲۰۰۴ گزارش نمود، آلدینیایی مکانیکی حاصل از مدل SNI ناشی از افزایش حساسیت فیبرهای آوران سالم می‌باشد [۶]. بر اساس سایر تحقیقات انجام شده در مدل SNI علاوه بر وجود دو پدیده آلدینیایی مکانیکی و حرارتی هایپرآلرژیای مکانیکی نیز وجود دارد [۶]. گزارش‌های دیگر نشان داده‌اند که در زمان استفاده از مدل SNI آلدینیایی مکانیکی سریع تر از هایپرآلرژیای حرارتی ظاهر می‌شود [۷ و ۶]. در مدل SNI عصب سورال ضمن جوانه زدن (sprout) سبب کاهش آستانه درد می‌گردد [۷]. Ro و Jacobes در سال ۱۹۹۳ گزارشی در مورد این اختلالات و ارتباط آن با عصب صافنوس در مدل CCI ارائه نمودند و بیان کردند که پس از آسیب عصب علاوه بر نواحی مربوط به عصب آسیب دیده اختلالاتی نیز در اعصاب سالم مجاور دیده می‌شود [۱۴]. بررسی نقش عصب صافنوس در CCI توسط محققانی همچون Tal و Bennett در سال ۱۹۹۴ در ایجاد پاسخ‌های رفتاری درد و افزایش حساسیت به تحریکات دردناک در مناطقی از پوست که توسط عصب صافنوس عصب دهی می‌شود صورت گرفت. و نشان داده شد که در مدل CCI در پای با عصب صافنوس سالم و عصب صافنوس قطع شده تفاوت‌هایی نسبت به تحریکات مکانیکی وجود دارد [۱۲ و ۱۶].

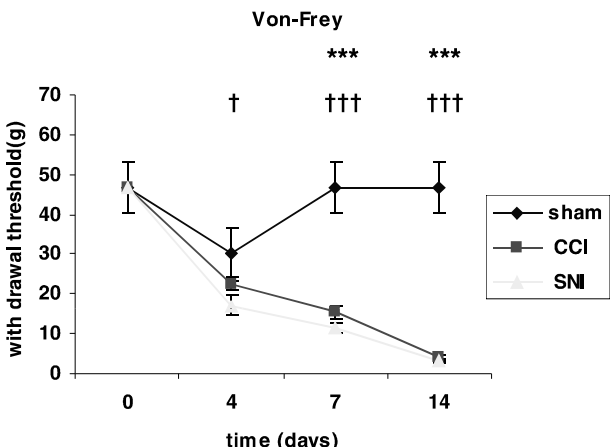
۵ تا ۱۰ دقیقه تکرار می‌شدند و Cut off آزمایش ۲۲ ثانیه بود.
(۲). روش محاسبه پاسخ طبق این فرمول می‌باشد:

میانگین پای راست- میانگین پای چپ = تفاوت زمانی عقب کشیدن دو پا در صورتی که اختلاف میانگین دو پا منفی باشد نشانگر پدیده هایپرآلزیای حرارتی است. پاسخ‌های هایپرآلزیای حرارتی و آلودینیای مکانیکی در ناحیه Lateral (عصب دهی شده توسط عصب سورال) و ناحیه Medial (عصب دهی شده توسط عصب صاف) کف پا در مدل SNI بطور مجزا مورد بررسی قرار گرفت (۷).

نتایج حاصل از تست‌های رفتاری با استفاده از نرم افزار SPSS و استفاده از آزمون Two Independent-samples T-test از Post hoc، One way ANOVA، Paired T-test mean \pm sem مقایسه شده‌اند. نتایج به صورت Tukey گزارش شده و $p < 0.05$ معنی دار تلقی شد.

یافته‌ها

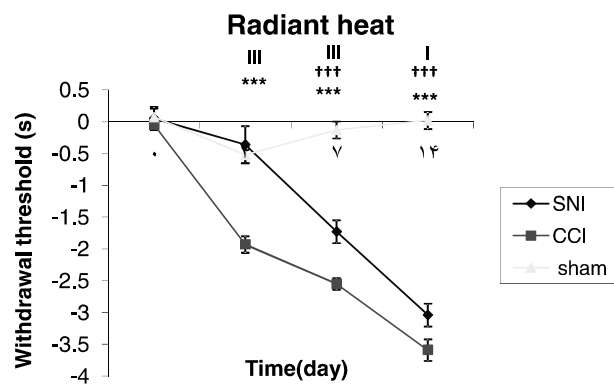
بررسی‌های رفتاری در مدل SNI و CCI تغییرات حسی را نشان داد که شامل آلودینیای مکانیکی و هایپرآلزیای حرارتی بود، در این مطالعه مشخص گردید که در هر دو مدل این دو نوع تغییرات حسی از هفته اول پس از عمل جراحی آغاز گردیده و در روز چهاردهم به اوج خود می‌رسد [نمودار ۱ و ۲]. هر دو مدل نوروپاتی پاسخ افزایشی را در مقابل محرک‌های مکانیکی



† : VS SNI (0.05) Sham group

*** : VS CCI (0.001) Sham group

شکل ۲- پاسخ رفتاری گروه‌های SHAM، CCI و SNI نسبت به تحریک ناشی از تماس Von-Frey به کف پای حیوان در زمان قبل از نوروپاتی (۰) و پس از آن (۷، ۱۴ و ۲۴).

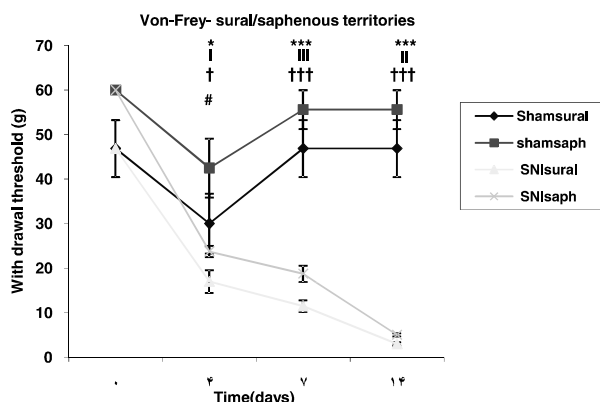


شکل ۱- پاسخ رفتاری گروه‌های SNI، SHAM و CCI نسبت به تابش اشعه مادون قرمز به کف پای حیوان. بررسی پاسخ‌ها در زمان قبل از نوروپاتی (۰) و پس از آن (۷، ۱۴ و ۲۴) نشان دهنده هایپرآلزیای حرارتی در هر دو مدل SNI و CCI می‌باشند. هرچه پاسخ‌ها منفی تر باشند نشان دهنده هایپرآلزیای حرارتی بیشتر می‌باشد.

شاخه شدن عصب سیاتیک قرار می‌گرفت و پس از بریده شدن پوست و عضله و پدیدار شدن سه شاخه عصب سیاتیک، با استفاده از نخ بخیه سیلک ۰/۴ دو شاخه Common Tibial و Proneal از محل سه شاخه شدن عصب سیاتیک گره محکم خورده و قطع گردید، شاخه Sural دست نخورده باقی ماند. سپس عضله و پوست بطور مجزا بخیه گردید (۷).

در آلودینیای مکانیکی حیوانات را بر روی یک صفحه مشبک فلزی و در داخل یک محفظه پلاکسی گلاس به ابعاد ۲۰ در ۲۰ سانتی متر قرار داده و پس از عادت کردن حیوان به محیط از تارهای مختلف Von-Frey ساخت شرکت Stoelting جهت سنجش آلودینیای مکانیکی استفاده می‌شد. در این آزمایش از تارهای ۲، ۴، ۸، ۱۵، ۲۶ و ۶۰ گرم استفاده گردید که از کمترین شماره تار شروع کرده و در صورت عدم پاسخ شماره بالاتری مورد آزمایش قرار می‌گرفت. هر تار سه بار متوالی به فاصله پنج ثانیه و هر بار بمدت یک ثانیه به کف پای چپ حیوان فشار داده شد و در صورتی دو بار پاسخ مثبت (بلند کردن پا) آستانه پاسخ به حساب می‌آمد. در صورتی که حیوان به تار شماره ۶۰ نیز پاسخ نداد عدد ۶۰ در نظر گرفته شد (۱۶).

در هایپرآلزیای حرارتی از دستگاه Radiant Heat ساخت Basil Ugo کشور ایتالیا با تاباندن اشعه مادون قرمز به کف پای سالم و آسیب دیده حیوان، آستانه درد حرارتی مورد سنجش قرار گرفت. بدین ترتیب که پس از تابش نور حرارتی توسط دستگاه به کف پا، با کشیدن پا تابش نور قطع شده و تایم موقوف می‌گردد. تحریکات حرارتی سه مرتبه و با فواصل



: VS Sham sural ($P<0.05$) Sham saph group
† : VS SNI saph ($P<0.05$) SNI sural group
†† : VS SNI sural ($P<0.001$) Sham sural group
** : VS SNI saph ($P<0.01$) Sham saph group

شکل ۴- مقایسه پاسخ های رفتاری مرتبط با تحریک ناشی از تارهای Von Frey در دو گروه SHAM و SNI در دو ناحیه مختلف کف پا که توسط دو عصب Sural و Saphenous عصب دهی شده است.

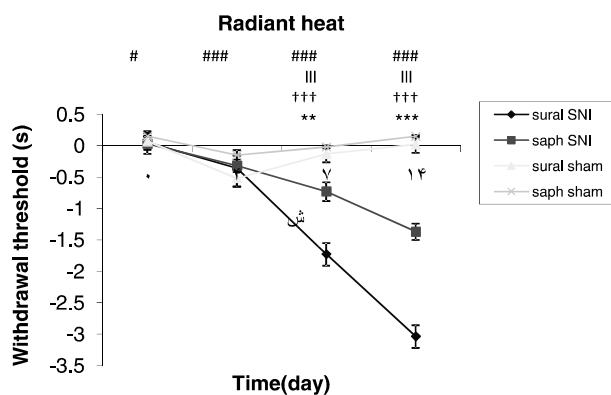
هاپرآلزیای حرارتی و آلودینیای مکانیکی در روزهای ۰، ۴، ۷ و ۱۴ نشان داد [نمودار ۳ و ۴].

بحث

بررسی های رفتاری این مطالعه در مدل SNI و CCI بیانگر وجود آلودینیای مکانیکی و هایپرآلزیای حرارتی پس از نوروپاتی می باشد که از روز چهارم پس از عمل قابل مشاهده بود و در روز چهاردهم روند رو به افزایشی را نشان داد، همانطور که نتایج مطالعات دیگران هم نشان داده بود در روز چهاردهم این پاسخ ها به حداقل میزان خود می رسند (۱ و ۱۲). به علاوه نتایج نشان داد که هایپرآلزیای حرارتی در مدل CCI بیشتر و بارزتر خود را نشان می دهد و آلودینیای مکانیکی در مدل SNI بارزتر است، هرچند که به لحاظ آماری اختلاف آلودینیای مکانیکی در گروه CCI با SNI معنی دارنمی باشد.

Xie و Bennett در سال ۱۹۸۸ در مدل CCI، تغییرات رفتاری را در درد گزارش دادند که مشابه بعضی از علائم سندروم درد نوروپاتیک در انسان بود [۲]. Tal و Bennett در سال ۱۹۹۴، در مدل CCI آلودینیای مکانیکی را در روز ۴ تا ۱۵ پس از نوروپاتی نشان دادند [۱۶]. Roytta در سال ۱۹۹۹ در مدل CCI نشان داد که علائم آلودینیای مکانیکی سه روز پس از نوروپاتی مشهود است ولی هایپرآلزیای حرارتی مشاهده

(پدیده آلودینیا) و حرارتی دردناک (پدیده هایپرآلزیا) نشان داد. مقایسه گروه sham با CCI در روزهای ۴، ۷ و ۱۴ بیانگر افزایش هایپرآلزیای حرارتی و آلودینیای مکانیکی بود ($p<0.05$) و ($p<0.001$). مقایسه گروه sham با SNI هم در روزهای ۴، ۷ و ۱۴ بیانگر افزایش آلودینیای مکانیکی و هایپرآلزیای حرارتی بود ($p<0.001$) و ($p<0.05$). در مقایسه هایپرآلزیای حرارتی و آلودینیای مکانیکی بین گروه CCI با SNI در طی روزهای مورد آزمایش اختلاف معنی داری مشاهده نشد ولی در گروه SNI پاسخ آلودینیای مکانیکی زودتر و شدیدتر از CCI بود [نمودار ۱ و ۲]. در CCI هایپرآلزی حرارتی با شدت بیشتری ظاهر شده است. مقایسه تغییرات حسی ناحیه Medial sham_{saph} (SNI_{saph}) با مدل (SNI_{saph}) در هایپرآلزیای حرارتی و آلودینیای مکانیکی در روز ۴، ۷ و ۱۴ نشان داد ($p<0.05$) و ($p<0.001$) [نمودار ۳ و ۴]. مقایسه تغییرات حسی ناحیه SNI کف پا یا ناحیه مربوط به عصب صافنوس با مدل Lateral (sham_{sural}) با گروه (sham_{saph}) (SNI_{sural}) در هایپرآلزیای حرارتی و آلودینیای مکانیکی در روز ۴، ۷ و ۱۴ نشان داد ($p<0.05$) و ($p<0.001$) [نمودار ۴ و ۳]. در مقایسه پاسخ گروه sham_{saph} با گروه sham_{sural} در ناحیه Medial (عصب دهی شده توسط عصب صافنوس) با ناحیه SNI_{sural} (عصب دهی شده توسط عصب سورال) تفاوت معنی داری در هایپرآلزیای حرارتی و آلودینیای مکانیکی در روز ۴، ۷ و ۱۴ دیده شد ($p<0.05$) و ($p<0.01$) [نمودار ۳ و ۴]. مقایسه پاسخ گروه sham_{saph} با گروه sham_{sural} تفاوت معنی داری را در



شکل ۳- مقایسه پاسخ های رفتاری مرتبط با تابش اشعه مادون قرمز به کف پای حیوان در دو گروه SHAM و SNI در دو ناحیه مختلف از کف پا که توسط دو عصب Sural و Saphenous عصب دهی شده اند.

تفاوت دو مدل را ناشی از فاصله محل نوروپاتی از DRG دانست و یا علت را در حضور درد التهابی در مدل CCI جستجو کرد. برخی مطالعات هایپرآلزیای حرارتی را به علت کاهش فیبرهای قطعی میلینه شده می‌دانند [۱۳]. Hand worker و همکارانش، گزارش دادند که فیبرهای A بتأثیر عامل تولید آلودینیا می‌باشند، به طوریکه با مسدود کردن این فیبرها آلودینیا از بین می‌رود. فعالیت این فیبرها از طریق ارتباطات بین نورونی در گانگلیون‌های شاخ خلفی نخاع موجب فعالیت فیبرهای C گردیده که منجر به درک محرك غیر دردناک به عنوان محرك دردناک می‌شود [۱۰]. بنابراین بنتظر می‌رسد که به علت ایجاد حساسیت مرکزی و فعالیت فیبرهای C و A بتأثیر هایپرآلزیا و آلودینیا بوجود می‌آید. چنانچه در مدل CCI لیگاتورها روی جریان خون اپینوریومی اثر گذاشته و آنرا مسدود کنند، ادم اندونوریومی و سپس تورم عصب ایجاد می‌شود، بیش از ۹۹ درصد فیبرهای میلین دار نوع A قطعی (آکسونهای نورون حرکتی و حسی) و در حدود ۷۵ درصد فیبرهای میلین دار نوع A با قطر کمتر در ناحیه گره‌ها از هم گسیخته و از بین رفته و تنها حدود ۵۰ درصد فیبرهای C بدون میلین دست نخورده باقی می‌مانند، اکثر فیبرهای C مسئول حسیایی مانند درد، حرارت و لمس با آستانه پائین می‌باشند. در نتیجه آلودینیای مکانیکی و هایپرآلزیای حرارتی را در مدل CCI می‌توان دید [۱]. در مدل SNI قسمت Lateral کف پای حیوان توسط عصب سورال قسمت Medial کف پا توسط عصب صافن که شاخه‌ای از عصب فمورال است عصب دهی می‌شود. مزیت مدل SNI آن است که می‌توان به بررسی مجزای نواحی مختلف کف پا پرداخت. مناطق آسیب دیده به تدریج از طریق آکسون‌های حسی‌ای که از عصب دست نخورده جوانه (sprout) می‌زنند عصب دهی می‌شوند ([۷]، Doubell، نشان داد که در نوروپاتی مدل CCI عصب سیاتیک تعدادی از فیبرهای A بتأثیر عصب صافنوس جوانه زده و به ناحیه لامینای II نخاع می‌روند که با جسم سلولی نورون‌های مخصوص ارتباط با فیبرهای C و A دلتا سیناپس می‌دهند [۸]. در مدل CCI جوانه زدن عصب صافن می‌تواند موجب افزایش درد شود، در مدل SNI جوانه زدن عصب سالم می‌تواند درد را افزایش دهد [۷]. نقش عصب صافنوس در پاسخ به محركهای رفتاری در مدل CCI پیش از این مورد بررسی قرار گرفته است [۱]. به علت اینکه کف پای موش توسط سه شاخه مختلف از

نمی‌شود [۱۵]. مطالعات دیگر هم نشان داده که آلودینیای مکانیکی از روز دوم تا دوازدهم پس از ایجاد نوروپاتی CCI شروع شده و تا هفته هشتم ادامه می‌باید [۱۲]. همچنین میزان هایپرآلزیا بین روزهای ۷ تا ۱۴ پس از CCI اتفاق می‌افتد [۱۸]. بروز پدیده هایپرآلزیای حرارتی نیز در روز هفتم تا چهاردهم پس از نوروپاتی نشان داده شده است [۱۲ و ۱۳]. نتایج بدست آمده در این پژوهش که نیز بیانگر ظهور آلودینیای مکانیکی و هایپرآلزیای حرارتی در مدل CCI در فواصل روزهای ۴ تا ۱۴ می‌باشد و با نتایج Bennett و Tal، Roytta و Bennett چشیده شده است. بروز هایپرآلزیای حرارتی نیز با نتایج Xie و نتایج Yaksh و Yamamoto که گذراش میزان هایپرآلزیای حرارتی را بین روزهای ۷ تا ۱۴ پس از نوروپاتی CCI گذراش کرده بودند مشابه است.

مدل SNI، دیگر مدلی است که توسط Decosterd و همکارانش در سال ۲۰۰۰ ابداع شده است و پدیده آلودینیای مکانیکی و هایپرآلزیای حرارتی را پس از نوروپاتی نشان داده است [۷]. Decosterd و همکارانش گزارش نمودند که پاسخ رفتاری در آلودینیای مکانیکی ناشی از افزایش حساسیت فیبرهای آوران آسیب ندیده می‌باشد. سایر تحقیقات نیز وجود دو پدیده آلودینیای مکانیکی و هایپرآلزیای حرارتی را در مدل SNI نشان داده است [۶ و ۷]. مطالعات در مدل SNI نشان داده که آلودینیای مکانیکی سریعتر از هایپرآلزیای حرارتی حاصل می‌شود [۶ و ۷ و ۱۷]. در آزمایشات ما مدل SNI نیز بیانگر بروز هر دو پدیده آلودینیای مکانیکی و هایپرآلزیای حرارتی بوده است که هر دو از روز چهارم پس از نوروپاتی آغاز گردیده و تا روز چهاردهم به اوج خود رسیده است. نتایج بدست آمده ما در مدل SNI در هر دو حالت، هایپرآلزیای حرارتی و آلودینیای مکانیکی مشابه نتایج حاصل از کار Decosterd می‌باشد. همانطور که از نتایج این پژوهش بر می‌اید در هر دو مدل SNI و CCI، هایپرآلزیا و آلودینیا از روز چهارم شروع شده و تا روز چهاردهم ادامه یافته بود. هایپرآلزیای حرارتی در مدل CCI نسبت به مدل SNI بیشتر بود. آلودینیای مکانیکی نیز در مدل SNI بیشتر از مدل CCI بود، ولی به لحاظ آماری معنی دار نبود.

از جمله علل تفاوت شدت ظهور این دو پدیده را می‌توان در تفاوت‌های زمینه‌ای متعددی جستجو کرد. شاید بتوان علت

- [7] Decosterd I, Woolf CJ, Spared nerve injury: an animal model of peripheral neuropathic pain. *Pain* 87 (2000) 149-158.
- [8] Doubell TP, Mannon RJ, Woolf CJ, Intact sciatic myelinated primary afferent terminals collaterally sprout in the adult rat dorsal horn following section of a neighboring peripheral nerve. *J Comp Neurol* 380 (1997) 95-104.
- [9] Dougherty PM, Garrison ChJ, Carlton SM, Differential influence of local anesthetic upon two models of experimentally induced peripheral mononeuropathy in the rat. *Brain Res* 570 (1992) 109-115.
- [10] Handwerker HO, Robal G, Psychophysiology of experimentally induced pain. *Physiol Rev* 73 (1993) 639-671.
- [11] Hansson PT, DDS Neuropathic pain: definition, epidemiology, classification and diagnostic work-up. *Pain, An updated review*, IASP press, 2005, p. 91-95.
- [12] Kim KJ, Yoon YW, Chung JM, Comparison of three rodent neuropathic pain models. *Exp Brain Res* 113 (1997) 200-206.
- [13] Mosconi T, Kruyer L, Fixed-diameter polyethylene cuffs applied to the rat sciatic nerve induce a painful neuropathy: ultrastructural morphometric analysis of axonal alterations. *Pain* 60 (1998) 37-57.
- [14] Ro IS, Jacobs JM, The role of the saphenous nerve in experimental sciatic nerve mononeuropathy produced by loose ligatures: a behavioral study. *Pain* 52 (1993) 359-369.
- [15] Royta M, Wei H, Pertvaa A, Spinal nerve ligation induced neuropathy in the rat: sensory disorders and correlation between histology of the peripheral nerve. *Pain* 80 (1991) 161-170.
- [16] Tal M, Bennett GJ, Extra-territorial pain in rat with a peripheral mononeuropathy: mechano-hyperalgesia and mechano-allodynia in the territory of an uninjured nerve. *Pain* 57 (1994) 375-382.
- [17] Xie w, Strong JA, Meij JTA, Zang JM, Yul L, Neuropathic pain: Early spontaneous afferent activity is the trigger. *Pain* 116 (2005) 243-256.
- [18] Yamamoto T, Yaksh LT, Spinal pharmacology of thermal hyperalgesia induced by constriction injury of sciatic nerve excitatory amino acid antagonists. *Pain* 49 (1992) 121-128.

عصب سپاتیک به صورت مجزا و ناحیه‌ای عصب دهی شده است با استفاده از مدل SNI می‌توان آنالیز مجزای حساسیت منطقه پوستی عصب دهی شده توسط اعصاب سالم و مناطق با اعصاب آسیب دیده را داشت، لذا ما این مدل را انتخاب کرده و در نهایت نتایج را با مدل CCI مورد مقایسه قرار دادیم. نتیجه گیری: بررسی رفتاری مدل‌های SNI و CCI پاسخهای پر قدرت حسی را نشان دادند که از نظرشدت پاسخ این دو مدل با یکدیگر متفاوت است و نواحی متاثر از هر دو شاخه عصب سورال و صافن در کف پا در نوروپاتی نوع SNI تحت تأثیر قرار می‌گیرد. لذا مدل‌های متفاوت نوروپاتی می‌تواند مکانیسم‌های متفاوتی داشته باشد.

تشکر و قدردانی

بدینوسیله از مرکز تحقیقات علوم اعصاب به جهت تأمین هزینه‌های این پژوهش و گروه فیزیولوژی دانشگاه علوم پزشکی شهریبد بهشتی تشکر و قدردانی می‌نماییم.

منابع

- [1] Bennett GJ, Experimental neuropathic pain in animals: models and mechanisms. *Pain, An updated review*, IASP press, 2005, p.97-105.
- [2] Bennett GJ, Xie Y-K , A peripheral neuropathy in rat that produces disorders of pain sensation like those seen in man. *Pain* 33 (1988) 87-108.
- [3] Bouhassira D, Attal N, Novel strategies for neuropathic pain. *Pain, An updated review*, IASP press, 2004, p. 299-309.
- [4] Choi Yoon YW, Na HS, Kim SH, Chung JM, Behavioral signs of ongoing pain and cold allodynia in a rat model of neuropathic pain. *Pain* 59 (1994) 369-376.
- [5]Coderre TJ, Katz J, Vaccarino AL, Melzack R, Contribution of neuroplasticity to pathological pain: review of clinical and experimental evidence. *Pain* 52 (1993) 259-285.
- [6] Decosterd I, Allchorne A, Woolf JC, Differential analgesic sensitivity of two distinct neuropathic pain models. *Anesth Analg* 99 (2004) 457-463